

Eingabe: Farbmétrisches Fernseh-Licht-System TLS70

für Buntton $h^* = lab \cdot h = 22/360 = 0.061$ $lab \cdot tch$ und $lab \cdot nch$

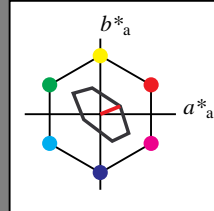
D65: Buntton O

LCH*Ma: 76 28 22

olv*Ma: 1.0 0.0 0.0

TLS70; adaptierte CIELAB-Daten

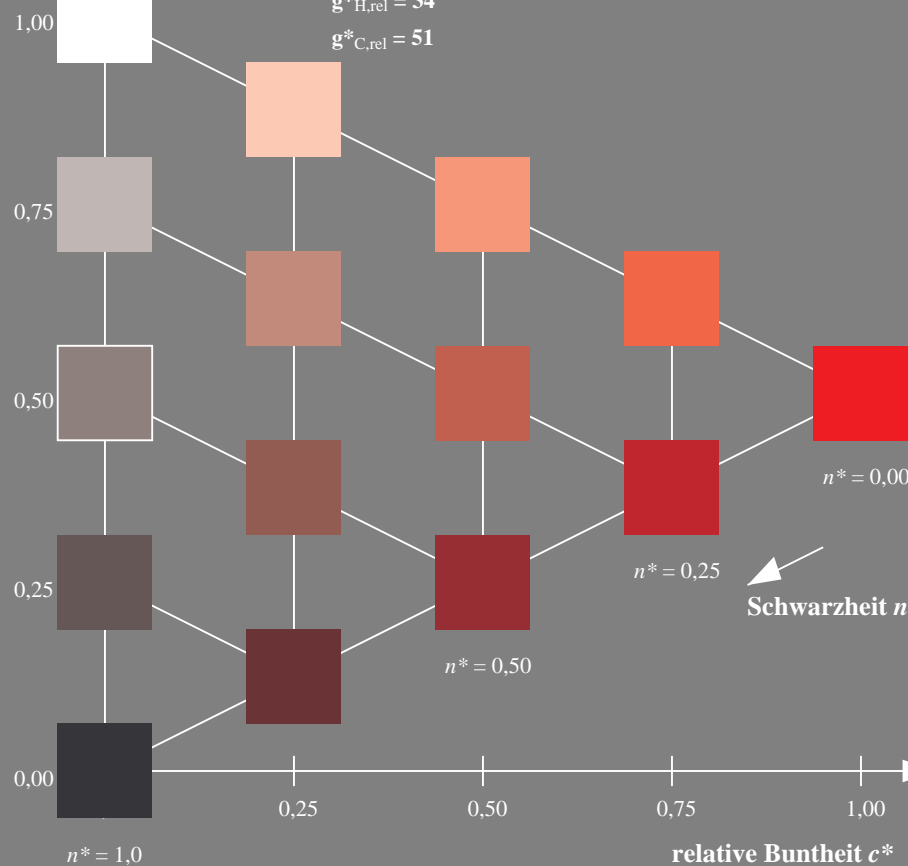
	$L^*=L^*_a$	a^*_a	b^*_a	$C^*_{ab,a}$	$h^*_{ab,a}$
O _m	76.43	26.27	10.57	28.32	22
Y _m	93.93	-10.76	34.63	36.27	107
L _m	89.32	-35.8	27.64	45.24	142
C _m	90.93	-21.95	-7.07	23.07	198
V _m	72.1	15.76	-35.63	38.97	294
M _m	78.5	37.52	-25.23	45.22	326
N _m	69.7	0.0	0.0	0.0	0
W _m	95.41	0.0	0.0	0.0	0
R _{CIE}	39.92	58.74	27.99	65.07	25
J _{CIE}	81.26	-2.88	71.56	71.62	92
G _{CIE}	52.23	-42.41	13.6	44.55	162
B _{CIE}	30.57	1.41	-46.46	46.49	272

Dreiecks-Helligkeit t^*

%Umfang

 $u^*_{rel} = 16$

%Regularität

 $g^*_{H,rel} = 34$ $g^*_{C,rel} = 51$ 

OG290-7, 5 stufige Reihen für konstanten CIELAB Buntton 22/360 = 0.061 (links)

BAM-Prüfvorlage OG29; Farbmétrik-Systeme ORS18 & ORS18input: $cm y 0^* set cmykcolor$

D65: Koordinaten-Systeme von 5stufigen Farbreihen für 10 Bunttoninput: Startup (S) data dependend

Ausgabe: Farbmétrisches Fernseh-Licht-System TLS70

für Buntton $h^* = lab \cdot h = 22/360 = 0.061$ $LAB \cdot LCH, LAB \cdot NCH$

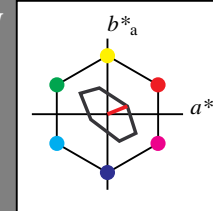
D65: Buntton O

LCH*Ma: 76 28 22

olv*Ma: 1.0 0.0 0.0

TLS70; adaptierte CIELAB-Daten

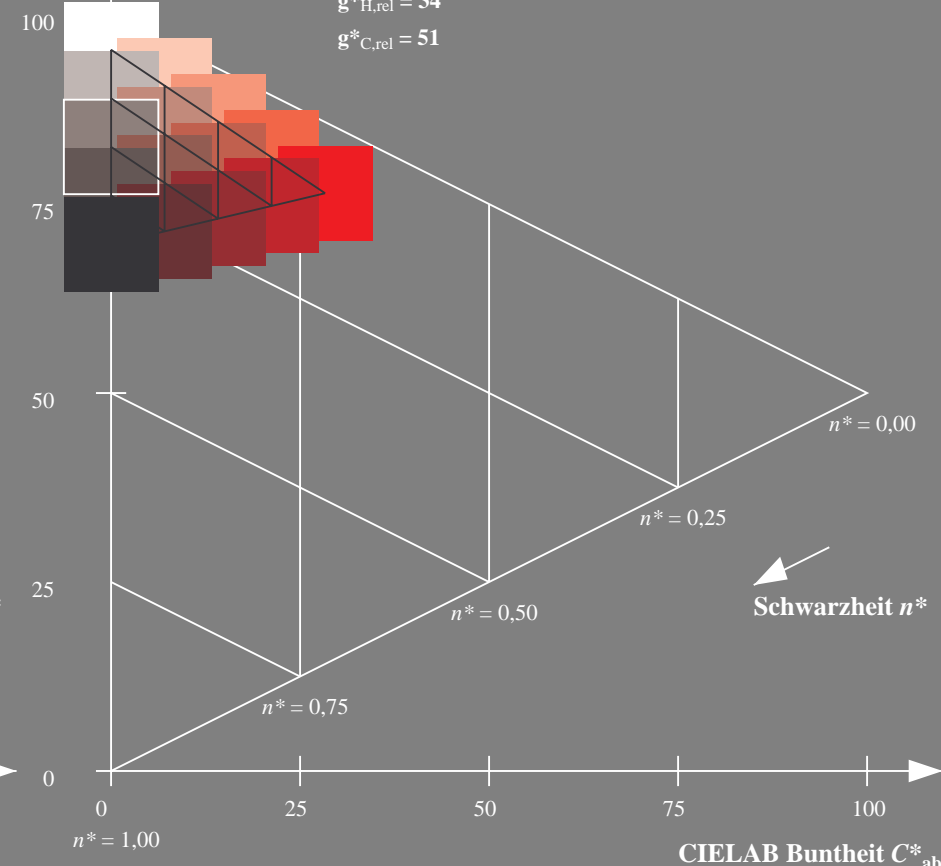
	$L^*=L^*_a$	a^*_a	b^*_a	$C^*_{ab,a}$	$h^*_{ab,a}$
O _m	76.43	26.27	10.57	28.32	22
Y _m	93.93	-10.76	34.63	36.27	107
L _m	89.32	-35.8	27.64	45.24	142
C _m	90.93	-21.95	-7.07	23.07	198
V _m	72.1	15.76	-35.63	38.97	294
M _m	78.5	37.52	-25.23	45.22	326
N _m	69.7	0.0	0.0	0.0	0
W _m	95.41	0.0	0.0	0.0	0
R _{CIE}	39.92	58.74	27.99	65.07	25
J _{CIE}	81.26	-2.88	71.56	71.62	92
G _{CIE}	52.23	-42.41	13.6	44.55	162
B _{CIE}	30.57	1.41	-46.46	46.49	272

CIELAB-Helligkeit L^*

%Umfang

 $u^*_{rel} = 16$

%Regularität

 $g^*_{H,rel} = 34$ $g^*_{C,rel} = 51$ 

5 stufige Reihen für konstanten CIELAB Buntton 22/360 = 0.061 (rechts)

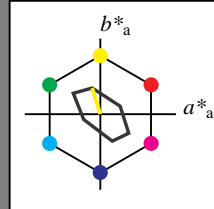
Eingabe: Farbmétrisches Fernseh-Licht-System TLS70

für Buntton $h^* = lab \cdot h = 107/360 = 0.298$ $lab \cdot tch$ und $lab \cdot nch$

D65: Buntton Y

LCH*Ma: 94 36 107

olv*Ma: 1.0 1.0 0.0



TLS70; adaptierte CIELAB-Daten

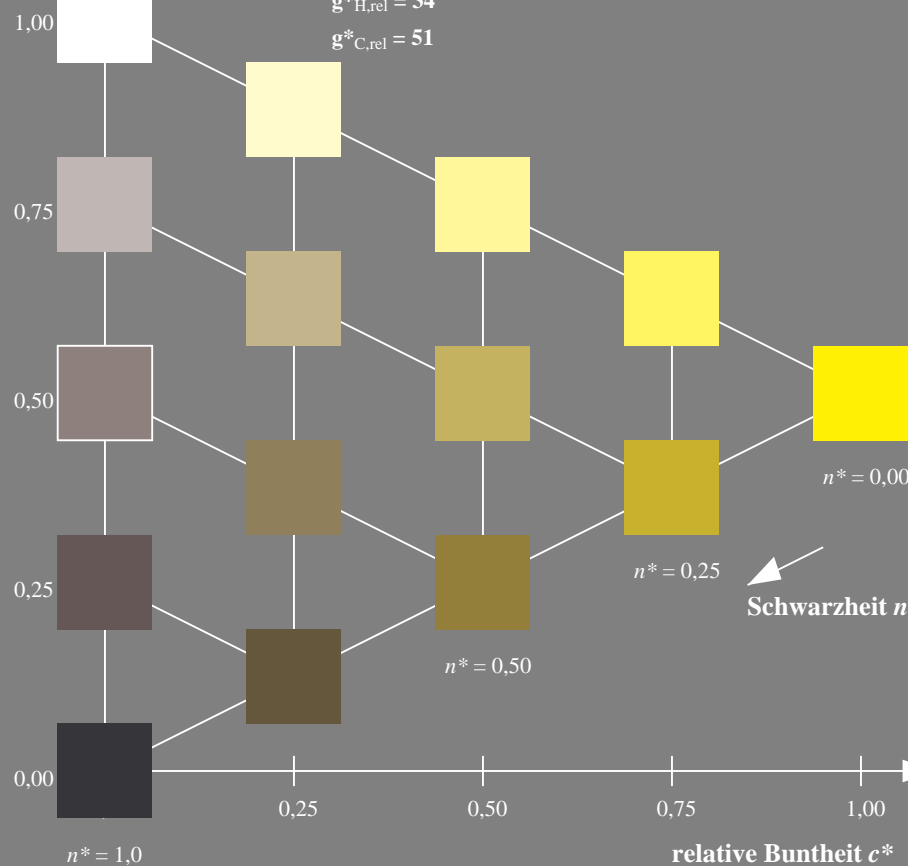
	$L^*=L^*_a$	a^*_a	b^*_a	$C^*_{ab,a}$	$h^*_{ab,a}$
O _m	76.43	26.27	10.57	28.32	22
Y _m	93.93	-10.76	34.63	36.27	107
L _m	89.32	-35.8	27.64	45.24	142
C _m	90.93	-21.95	-7.07	23.07	198
V _m	72.1	15.76	-35.63	38.97	294
M _m	78.5	37.52	-25.23	45.22	326
N _m	69.7	0.0	0.0	0.0	0
W _m	95.41	0.0	0.0	0.0	0
R _{CIE}	39.92	58.74	27.99	65.07	25
J _{CIE}	81.26	-2.88	71.56	71.62	92
G _{CIE}	52.23	-42.41	13.6	44.55	162
B _{CIE}	30.57	1.41	-46.46	46.49	272

Dreiecks-Helligkeit t^*

%Umfang

 $u^*_{rel} = 16$

%Regularität

 $g^*_{H,rel} = 34$ $g^*_{C,rel} = 51$ 

OG290-7, 5 stufige Reihen für konstanten CIELAB Buntton 107/360 = 0.298 (links)

BAM-Prüfvorlage OG29; Farbmétrik-Systeme ORS18 & ORS18input: *cmv0* setcmykcolor*D65: Koordinaten-Systeme von 5stufigen Farbreihen für 10 Bunttoninput: *Startup (S) data dependant*

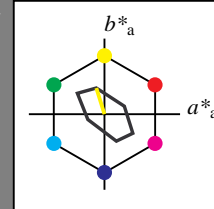
Ausgabe: Farbmétrisches Fernseh-Licht-System TLS70

für Buntton $h^* = lab \cdot h = 107/360 = 0.298$ $LAB \cdot LCH$, $LAB \cdot NCH$

D65: Buntton Y

LCH*Ma: 94 36 107

olv*Ma: 1.0 1.0 0.0



TLS70; adaptierte CIELAB-Daten

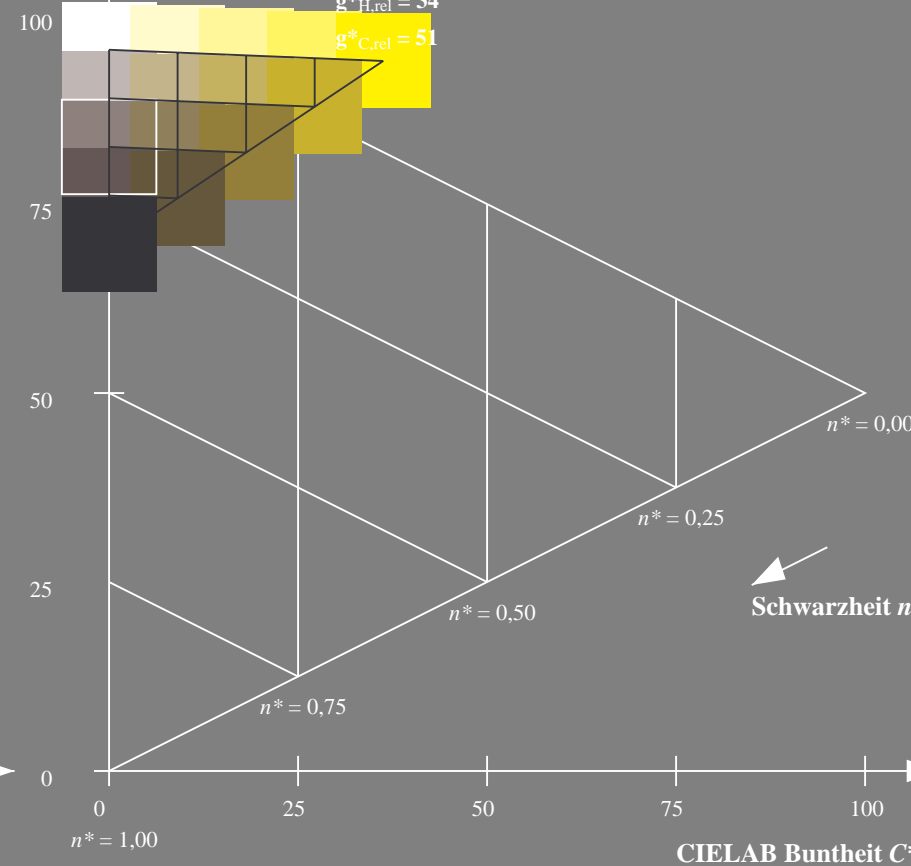
	$L^*=L^*_a$	a^*_a	b^*_a	$C^*_{ab,a}$	$h^*_{ab,a}$
O _m	76.43	26.27	10.57	28.32	22
Y _m	93.93	-10.76	34.63	36.27	107
L _m	89.32	-35.8	27.64	45.24	142
C _m	90.93	-21.95	-7.07	23.07	198
V _m	72.1	15.76	-35.63	38.97	294
M _m	78.5	37.52	-25.23	45.22	326
N _m	69.7	0.0	0.0	0.0	0
W _m	95.41	0.0	0.0	0.0	0
R _{CIE}	39.92	58.74	27.99	65.07	25
J _{CIE}	81.26	-2.88	71.56	71.62	92
G _{CIE}	52.23	-42.41	13.6	44.55	162
B _{CIE}	30.57	1.41	-46.46	46.49	272

CIELAB-Helligkeit L^*

%Umfang

 $u^*_{rel} = 16$

%Regularität

 $g^*_{H,rel} = 34$ $g^*_{C,rel} = 51$ 

5 stufige Reihen für konstanten CIELAB Buntton 107/360 = 0.298 (rechts)

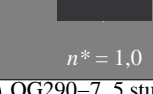
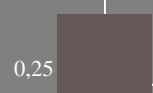
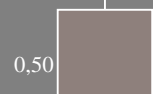
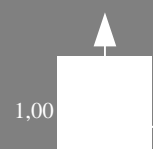
Eingabe: Farbmétrisches Fernseh-Licht-System TLS70

für Buntton $h^* = lab \cdot h = 142/360 = 0.395$ $lab \cdot tch$ und $lab \cdot nch$

D65: Buntton L

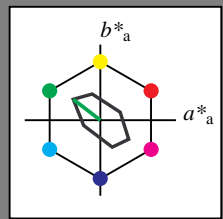
LCH*Ma: 89 45 142

olv*Ma: 0.0 1.0 0.0

Dreiecks-Helligkeit t^* 

TLS70; adaptierte CIELAB-Daten

	$L^*=L^*_a$	a^*_a	b^*_a	$C^*_{ab,a}$	$h^*_{ab,a}$
O _m	76.43	26.27	10.57	28.32	22
Y _m	93.93	-10.76	34.63	36.27	107
L _m	89.32	-35.8	27.64	45.24	142
C _m	90.93	-21.95	-7.07	23.07	198
V _m	72.1	15.76	-35.63	38.97	294
M _m	78.5	37.52	-25.23	45.22	326
N _m	69.7	0.0	0.0	0.0	0
W _m	95.41	0.0	0.0	0.0	0
R _{CIE}	39.92	58.74	27.99	65.07	25
J _{CIE}	81.26	-2.88	71.56	71.62	92
G _{CIE}	52.23	-42.41	13.6	44.55	162
B _{CIE}	30.57	1.41	-46.46	46.49	272



%Umfang

 $u^*_{rel} = 16$

%Regularität

 $g^*_{H,rel} = 34$ $g^*_{C,rel} = 51$

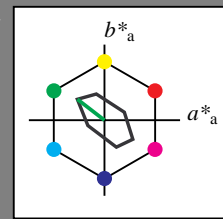
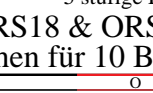
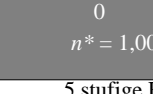
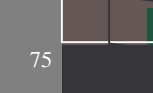
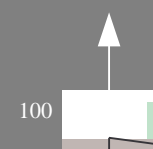
Ausgabe: Farbmétrisches Fernseh-Licht-System TLS70

für Buntton $h^* = lab \cdot h = 142/360 = 0.395$ $LAB \cdot LCH$, $LAB \cdot NCH$

D65: Buntton L

LCH*Ma: 89 45 142

olv*Ma: 0.0 1.0 0.0

CIELAB-Helligkeit L^* 

%Umfang

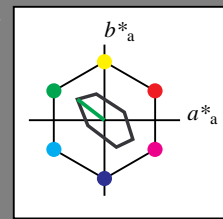
 $u^*_{rel} = 16$

%Regularität

 $g^*_{H,rel} = 34$ $g^*_{C,rel} = 51$

TLS70; adaptierte CIELAB-Daten

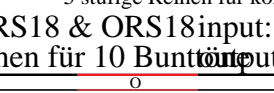
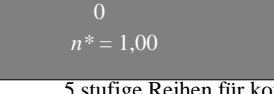
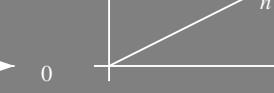
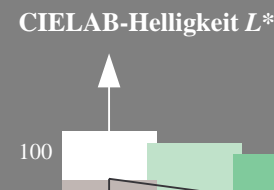
	$L^*=L^*_a$	a^*_a	b^*_a	$C^*_{ab,a}$	$h^*_{ab,a}$
O _m	76.43	26.27	10.57	28.32	22
Y _m	93.93	-10.76	34.63	36.27	107
L _m	89.32	-35.8	27.64	45.24	142
C _m	90.93	-21.95	-7.07	23.07	198
V _m	72.1	15.76	-35.63	38.97	294
M _m	78.5	37.52	-25.23	45.22	326
N _m	69.7	0.0	0.0	0.0	0
W _m	95.41	0.0	0.0	0.0	0
R _{CIE}	39.92	58.74	27.99	65.07	25
J _{CIE}	81.26	-2.88	71.56	71.62	92
G _{CIE}	52.23	-42.41	13.6	44.55	162
B _{CIE}	30.57	1.41	-46.46	46.49	272



%Umfang

 $u^*_{rel} = 16$

%Regularität

 $g^*_{H,rel} = 34$ $g^*_{C,rel} = 51$ 

OG290-7, 5 stufige Reihen für konstanten CIELAB Buntton 142/360 = 0.395 (links)

5 stufige Reihen für konstanten CIELAB Buntton 142/360 = 0.395 (rechts)

BAM-Prüfvorlage OG29; Farbmétrik-Systeme ORS18 & ORS18input: $cmY0^* setcmykcolor$

D65: Koordinaten-Systeme von 5stufigen Farbreihen für 10 Bunttoninput: Startup (S) data dependant

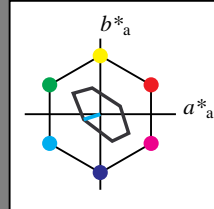
Eingabe: Farbmétrisches Fernseh-Licht-System TLS70

für Buntton $h^* = lab^*h = 198/360 = 0.55$ lab^*tch und lab^*nch

D65: Buntton C

LCH*Ma: 91 23 198

olv*Ma: 0.0 1.0 1.0



TLS70; adaptierte CIELAB-Daten

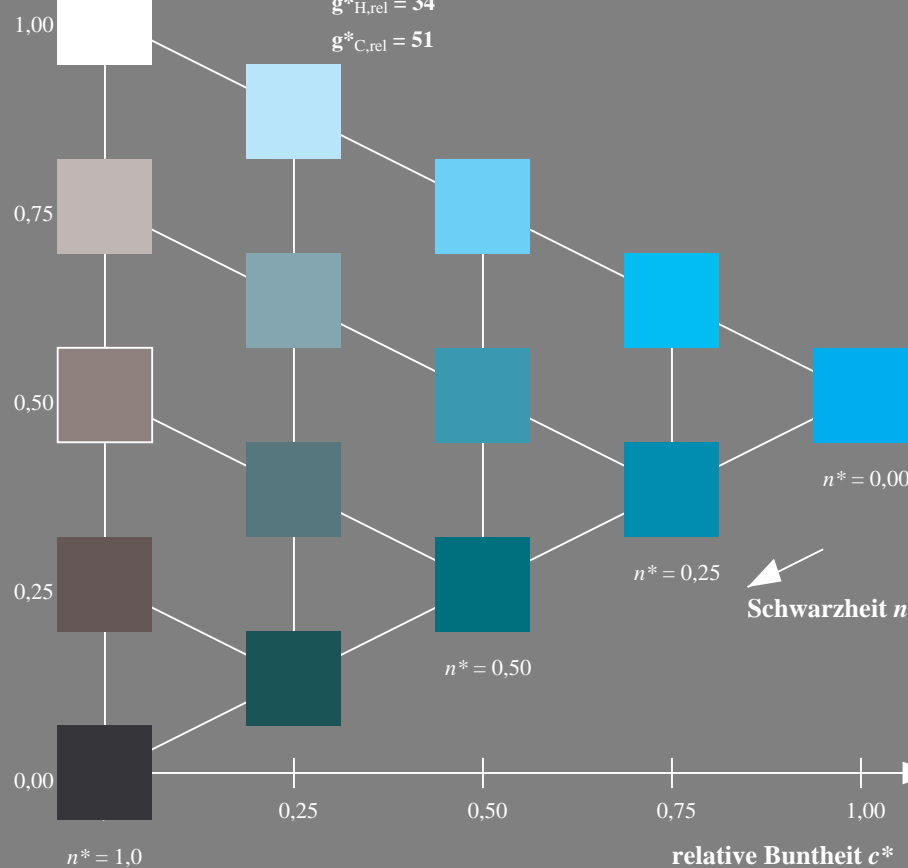
	$L^*=L^*_a$	a^*_a	b^*_a	$C^*_{ab,a}$	$h^*_{ab,a}$
O _m	76.43	26.27	10.57	28.32	22
Y _m	93.93	-10.76	34.63	36.27	107
L _m	89.32	-35.8	27.64	45.24	142
C _m	90.93	-21.95	-7.07	23.07	198
V _m	72.1	15.76	-35.63	38.97	294
M _m	78.5	37.52	-25.23	45.22	326
N _m	69.7	0.0	0.0	0.0	0
W _m	95.41	0.0	0.0	0.0	0
R _{CIE}	39.92	58.74	27.99	65.07	25
J _{CIE}	81.26	-2.88	71.56	71.62	92
G _{CIE}	52.23	-42.41	13.6	44.55	162
B _{CIE}	30.57	1.41	-46.46	46.49	272

Dreiecks-Helligkeit t^*

%Umfang

 $u^*_{rel} = 16$

%Regularität

 $g^*_{H,rel} = 34$ $g^*_{C,rel} = 51$ 

OG290-7, 5 stufige Reihen für konstanten CIELAB Buntton 198/360 = 0.55 (links)

BAM-Prüfvorlage OG29; Farbmétrik-Systeme ORS18 & ORS18input: *cmv0* setcmykcolor*D65: Koordinaten-Systeme von 5stufigen Farbreihen für 10 Bunttoninput: *Startup (S) data dependant*

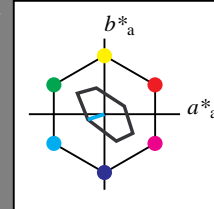
Ausgabe: Farbmétrisches Fernseh-Licht-System TLS70

für Buntton $h^* = lab^*h = 198/360 = 0.55$ LAB^*LCH , LAB^*NCH

D65: Buntton C

LCH*Ma: 91 23 198

olv*Ma: 0.0 1.0 1.0



TLS70; adaptierte CIELAB-Daten

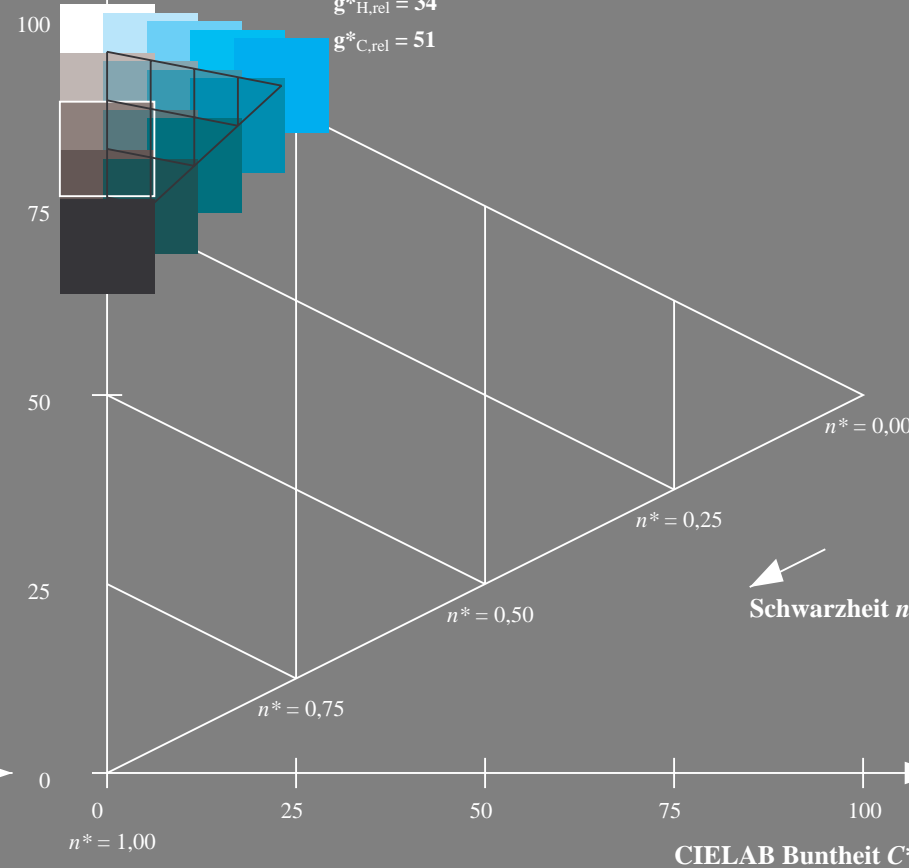
	$L^*=L^*_a$	a^*_a	b^*_a	$C^*_{ab,a}$	$h^*_{ab,a}$
O _m	76.43	26.27	10.57	28.32	22
Y _m	93.93	-10.76	34.63	36.27	107
L _m	89.32	-35.8	27.64	45.24	142
C _m	90.93	-21.95	-7.07	23.07	198
V _m	72.1	15.76	-35.63	38.97	294
M _m	78.5	37.52	-25.23	45.22	326
N _m	69.7	0.0	0.0	0.0	0
W _m	95.41	0.0	0.0	0.0	0
R _{CIE}	39.92	58.74	27.99	65.07	25
J _{CIE}	81.26	-2.88	71.56	71.62	92
G _{CIE}	52.23	-42.41	13.6	44.55	162
B _{CIE}	30.57	1.41	-46.46	46.49	272

CIELAB-Helligkeit L^*

%Umfang

 $u^*_{rel} = 16$

%Regularität

 $g^*_{H,rel} = 34$ $g^*_{C,rel} = 51$ 

5 stufige Reihen für konstanten CIELAB Buntton 198/360 = 0.55 (rechts)

Eingabe: Farbmétrisches Fernseh-Licht-System TLS70

für Buntton $h^* = lab \cdot h = 294/360 = 0.816$ $lab \cdot tch$ und $lab \cdot nch$

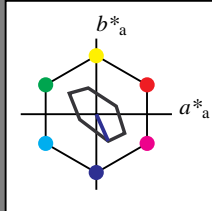
D65: Buntton V

LCH*Ma: 72 39 294

olv*Ma: 0.0 0.0 1.0

TLS70; adaptierte CIELAB-Daten

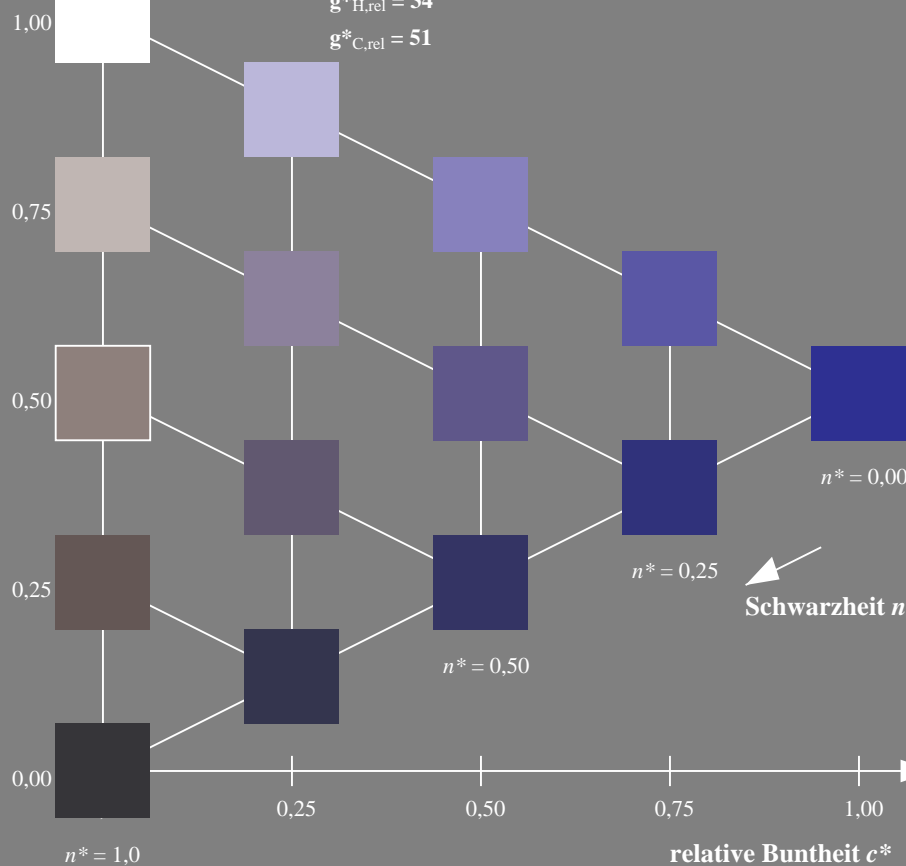
	$L^*=L^*_a$	a^*_a	b^*_a	$C^*_{ab,a}$	$h^*_{ab,a}$
O _m	76.43	26.27	10.57	28.32	22
Y _m	93.93	-10.76	34.63	36.27	107
L _m	89.32	-35.8	27.64	45.24	142
C _m	90.93	-21.95	-7.07	23.07	198
V _m	72.1	15.76	-35.63	38.97	294
M _m	78.5	37.52	-25.23	45.22	326
N _m	69.7	0.0	0.0	0.0	0
W _m	95.41	0.0	0.0	0.0	0
R _{CIE}	39.92	58.74	27.99	65.07	25
J _{CIE}	81.26	-2.88	71.56	71.62	92
G _{CIE}	52.23	-42.41	13.6	44.55	162
B _{CIE}	30.57	1.41	-46.46	46.49	272

Dreiecks-Helligkeit t^*

%Umfang

 $u^*_{rel} = 16$

%Regularität

 $g^*_{H,rel} = 34$ $g^*_{C,rel} = 51$ 

OG290-7, 5 stufige Reihen für konstanten CIELAB Buntton 294/360 = 0.816 (links)

BAM-Prüfvorlage OG29; Farbmétrik-Systeme ORS18 & ORS18input: $cm y 0^* set cmykcolor$

D65: Koordinaten-Systeme von 5stufigen Farbreihen für 10 Bunttoninput: Startup (S) data dependant

Ausgabe: Farbmétrisches Fernseh-Licht-System TLS70

für Buntton $h^* = lab \cdot h = 294/360 = 0.816$ $LAB \cdot LCH$, $LAB \cdot NCH$

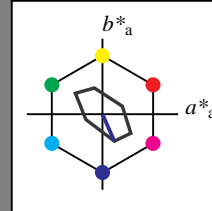
D65: Buntton V

LCH*Ma: 72 39 294

olv*Ma: 0.0 0.0 1.0

TLS70; adaptierte CIELAB-Daten

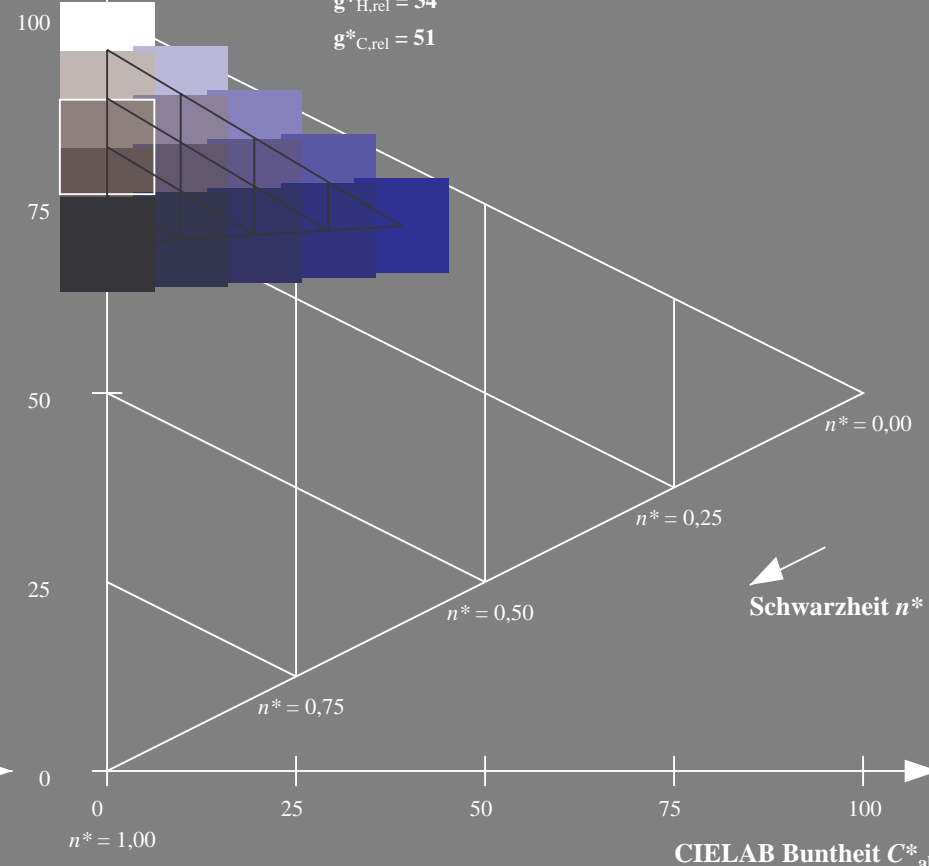
	$L^*=L^*_a$	a^*_a	b^*_a	$C^*_{ab,a}$	$h^*_{ab,a}$
O _m	76.43	26.27	10.57	28.32	22
Y _m	93.93	-10.76	34.63	36.27	107
L _m	89.32	-35.8	27.64	45.24	142
C _m	90.93	-21.95	-7.07	23.07	198
V _m	72.1	15.76	-35.63	38.97	294
M _m	78.5	37.52	-25.23	45.22	326
N _m	69.7	0.0	0.0	0.0	0
W _m	95.41	0.0	0.0	0.0	0
R _{CIE}	39.92	58.74	27.99	65.07	25
J _{CIE}	81.26	-2.88	71.56	71.62	92
G _{CIE}	52.23	-42.41	13.6	44.55	162
B _{CIE}	30.57	1.41	-46.46	46.49	272

CIELAB-Helligkeit L^*

%Umfang

 $u^*_{rel} = 16$

%Regularität

 $g^*_{H,rel} = 34$ $g^*_{C,rel} = 51$ 

5 stufige Reihen für konstanten CIELAB Buntton 294/360 = 0.816 (rechts)

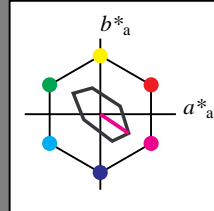
Eingabe: Farbmétrisches Fernseh-Licht-System TLS70

für Buntton $h^* = lab^*h = 326/360 = 0.906$ lab^*tch und lab^*nch

D65: Buntton M

LCH*Ma: 79 45 326

olv*Ma: 1.0 0.0 1.0



TLS70; adaptierte CIELAB-Daten

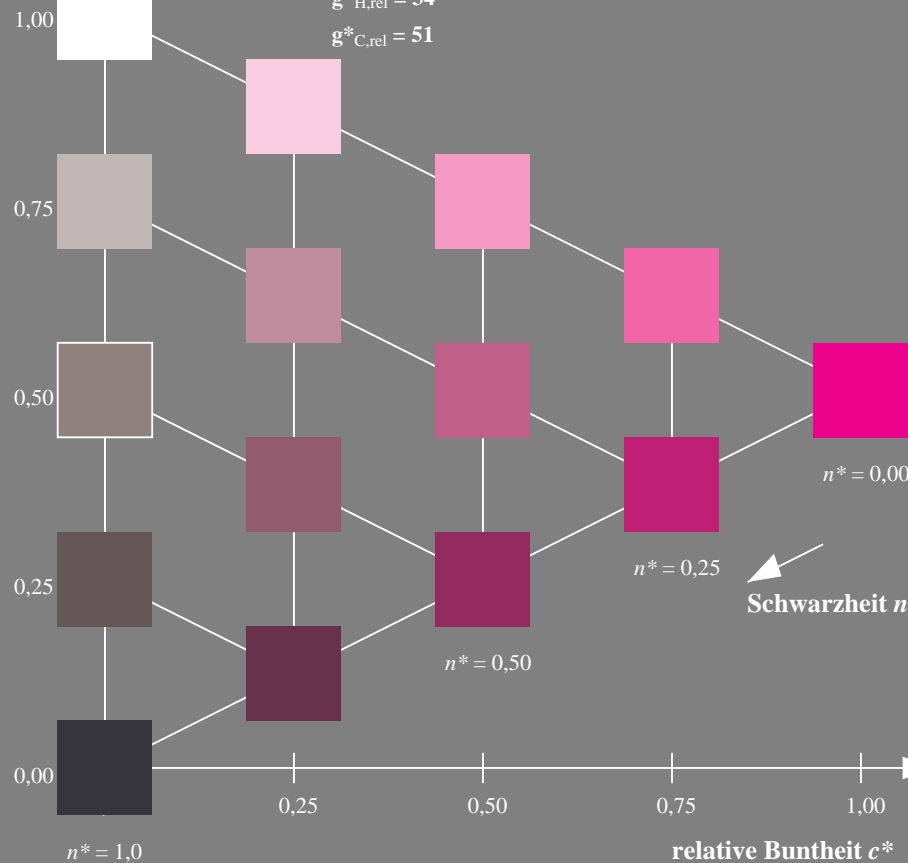
	$L^*=L^*_a$	a^*_a	b^*_a	$C^*_{ab,a}$	$h^*_{ab,a}$
O _m	76.43	26.27	10.57	28.32	22
Y _m	93.93	-10.76	34.63	36.27	107
L _m	89.32	-35.8	27.64	45.24	142
C _m	90.93	-21.95	-7.07	23.07	198
V _m	72.1	15.76	-35.63	38.97	294
M _m	78.5	37.52	-25.23	45.22	326
N _m	69.7	0.0	0.0	0.0	0
W _m	95.41	0.0	0.0	0.0	0
R _{CIE}	39.92	58.74	27.99	65.07	25
J _{CIE}	81.26	-2.88	71.56	71.62	92
G _{CIE}	52.23	-42.41	13.6	44.55	162
B _{CIE}	30.57	1.41	-46.46	46.49	272

Dreiecks-Helligkeit t^*

%Umfang

 $u^*_{rel} = 16$

%Regularität

 $g^*_{H,rel} = 34$ $g^*_{C,rel} = 51$ 

OG290-7, 5 stufige Reihen für konstanten CIELAB Buntton 326/360 = 0.906 (links)

BAM-Prüfvorlage OG29; Farbmétrik-Systeme ORS18 & ORS18input: *cmv0* setcmykcolor*D65: Koordinaten-Systeme von 5stufigen Farbreihen für 10 Bunttoninput: *Startup (S) data dependend*

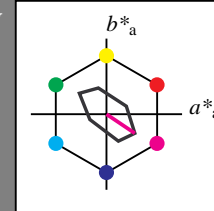
Ausgabe: Farbmétrisches Fernseh-Licht-System TLS70

für Buntton $h^* = lab^*h = 326/360 = 0.906$ LAB^*LCH, LAB^*NCH

D65: Buntton M

LCH*Ma: 79 45 326

olv*Ma: 1.0 0.0 1.0



TLS70; adaptierte CIELAB-Daten

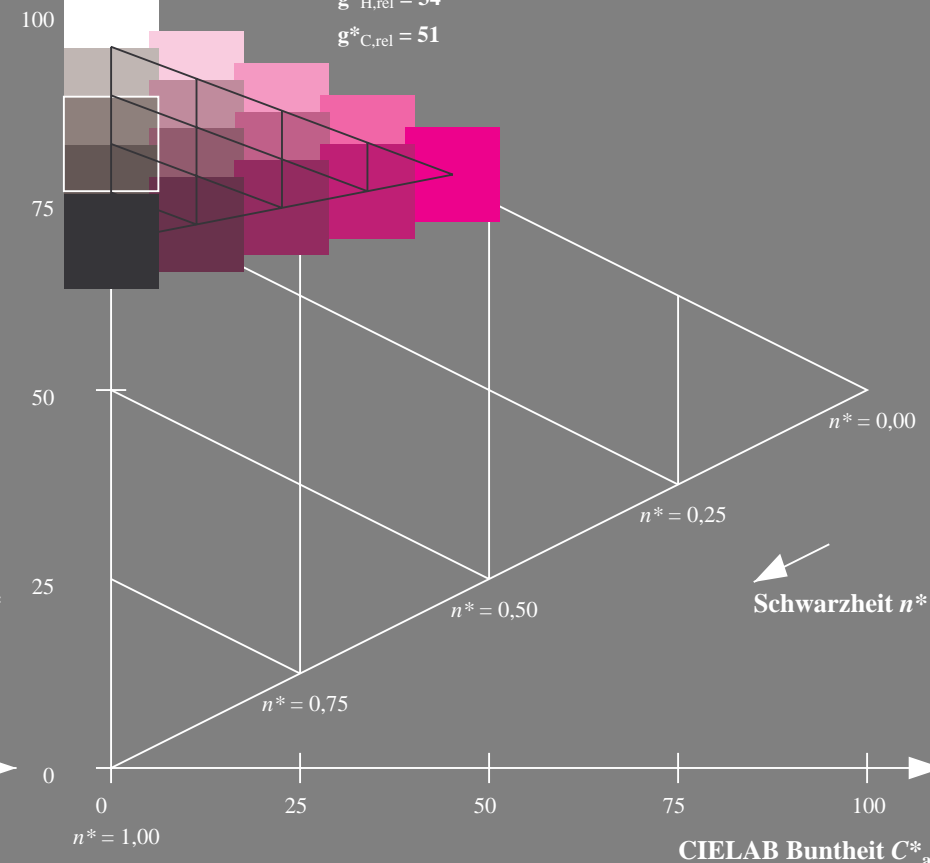
	$L^*=L^*_a$	a^*_a	b^*_a	$C^*_{ab,a}$	$h^*_{ab,a}$
O _m	76.43	26.27	10.57	28.32	22
Y _m	93.93	-10.76	34.63	36.27	107
L _m	89.32	-35.8	27.64	45.24	142
C _m	90.93	-21.95	-7.07	23.07	198
V _m	72.1	15.76	-35.63	38.97	294
M _m	78.5	37.52	-25.23	45.22	326
N _m	69.7	0.0	0.0	0.0	0
W _m	95.41	0.0	0.0	0.0	0
R _{CIE}	39.92	58.74	27.99	65.07	25
J _{CIE}	81.26	-2.88	71.56	71.62	92
G _{CIE}	52.23	-42.41	13.6	44.55	162
B _{CIE}	30.57	1.41	-46.46	46.49	272

CIELAB-Helligkeit L^*

%Umfang

 $u^*_{rel} = 16$

%Regularität

 $g^*_{H,rel} = 34$ $g^*_{C,rel} = 51$ 

5 stufige Reihen für konstanten CIELAB Buntton 326/360 = 0.906 (rechts)

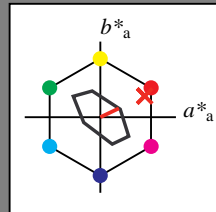
Eingabe: Farbmétrisches Fernseh-Licht-System TLS70

für Buntton $h^* = lab \cdot h = 25/360 = 0.071$ $lab \cdot tch$ und $lab \cdot nch$

D65: Buntton R

LCH*Ma: 77 27 25

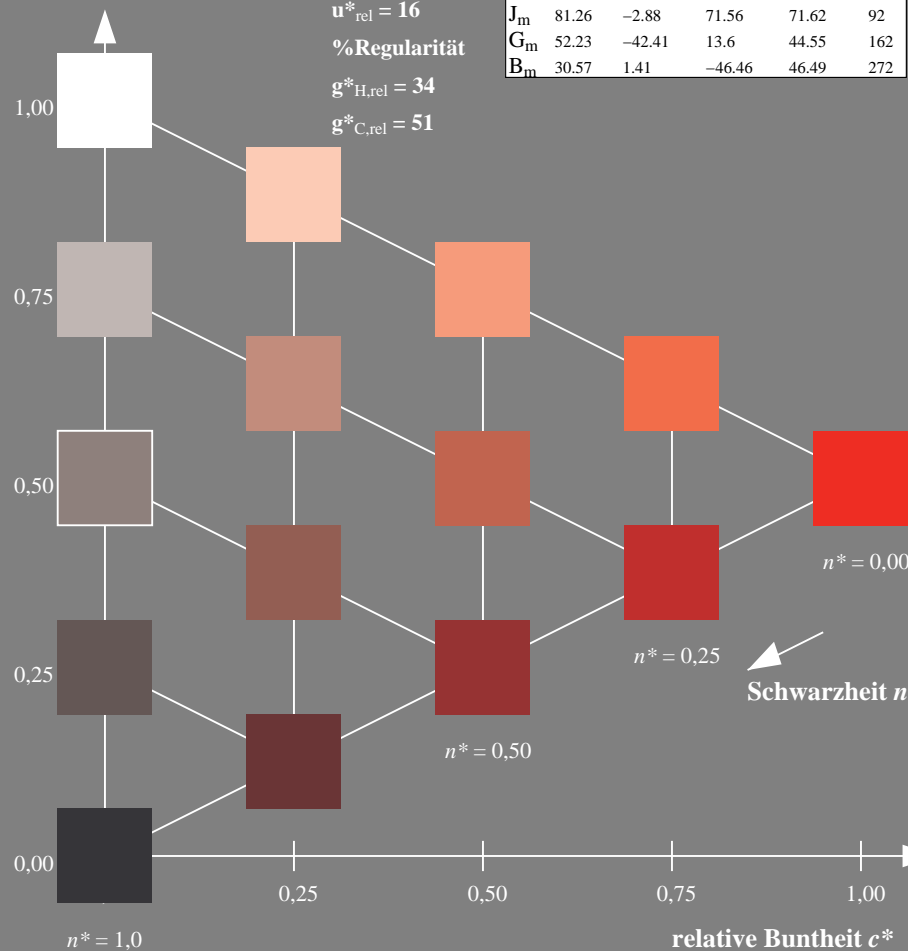
olv*Ma: 1.0 0.05 0.0

Dreiecks-Helligkeit t^* 

%Umfang

 $u^*_{rel} = 16$

%Regularität

 $g^*_{H,rel} = 34$ $g^*_{C,rel} = 51$ 

OG290-7, 5 stufige Reihen für konstanten CIELAB Buntton 25/360 = 0.071 (links)

BAM-Prüfvorlage OG29; Farbmétrik-Systeme ORS18 & ORS18input: *cmv0* setcmykcolor*D65: Koordinaten-Systeme von 5stufigen Farbreihen für 10 Bunttoninput: *Startup (S) data dependend*

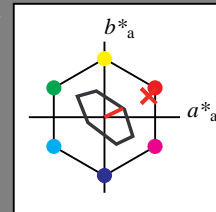
Ausgabe: Farbmétrisches Fernseh-Licht-System TLS70

für Buntton $h^* = lab \cdot h = 25/360 = 0.071$ $LAB \cdot LCH$, $LAB \cdot NCH$

D65: Buntton R

LCH*Ma: 77 27 25

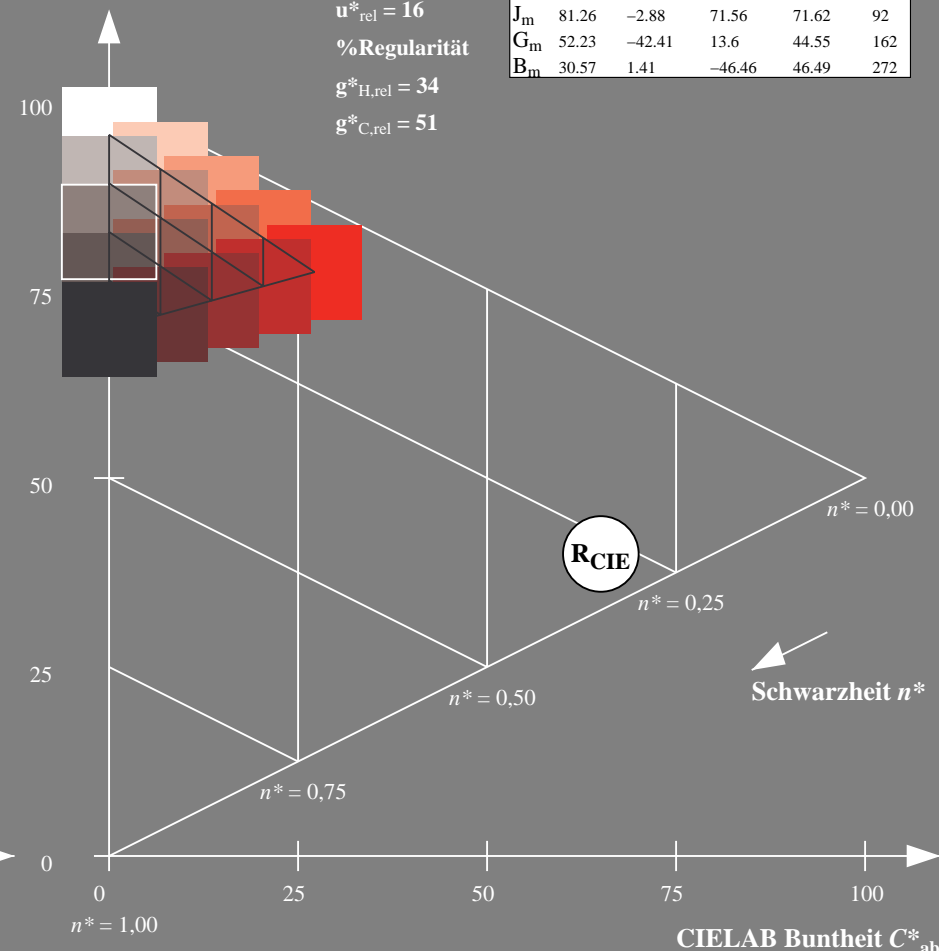
olv*Ma: 1.0 0.05 0.0

CIELAB-Helligkeit L^* 

%Umfang

 $u^*_{rel} = 16$

%Regularität

 $g^*_{H,rel} = 34$ $g^*_{C,rel} = 51$ 

5 stufige Reihen für konstanten CIELAB Buntton 25/360 = 0.071 (rechts)

Eingabe: Farbmétrisches Fernseh-Licht-System TLS70

für Buntton $h^* = lab \cdot h = 92/360 = 0.256$ $lab \cdot tch$ und $lab \cdot nch$

D65: Buntton J

LCH*Ma: 89 28 92

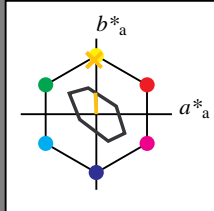
olv*Ma: 1.0 0.74 0.0

Dreiecks-Helligkeit t^*

%Umfang

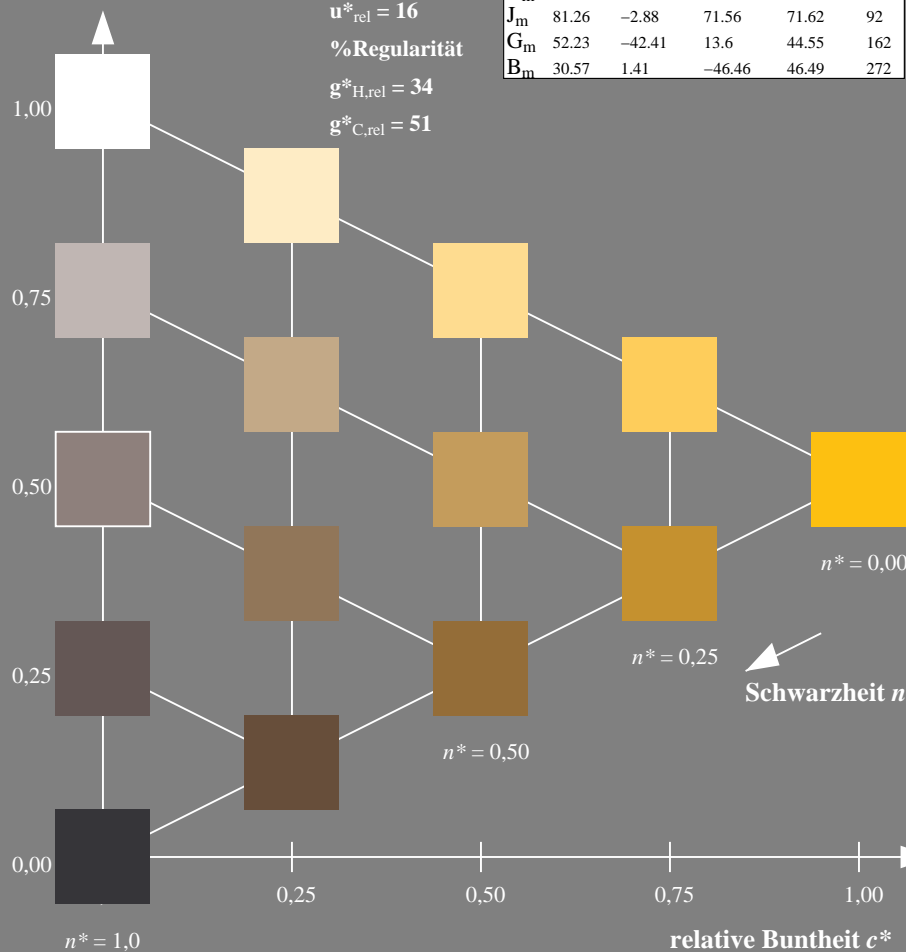
 $u^*_{rel} = 16$

%Regularität

 $g^*_{H,rel} = 34$ $g^*_{C,rel} = 51$ 

TLS70; adaptierte CIELAB-Daten

	$L^*=L^*_a$	a^*_a	b^*_a	$C^*_{ab,a}$	$h^*_{ab,a}$
O _m	76.43	26.27	10.57	28.32	22
Y _m	93.93	-10.76	34.63	36.27	107
L _m	89.32	-35.8	27.64	45.24	142
C _m	90.93	-21.95	-7.07	23.07	198
V _m	72.1	15.76	-35.63	38.97	294
M _m	78.5	37.52	-25.23	45.22	326
N _m	69.7	0.0	0.0	0.0	0
W _m	95.41	0.0	0.0	0.0	0
R _m	39.92	58.74	27.99	65.07	25
J _m	81.26	-2.88	71.56	71.62	92
G _m	52.23	-42.41	13.6	44.55	162
B _m	30.57	1.41	-46.46	46.49	272



OG290-7, 5 stufige Reihen für konstanten CIELAB Buntton 92/360 = 0.256 (links)

BAM-Prüfvorlage OG29; Farbmétrik-Systeme ORS18 & ORS18input: cmy0* setcmykcolor

D65: Koordinaten-Systeme von 5stufigen Farbreihen für 10 Bunttoninput: Startup (S) data dependend

Ausgabe: Farbmétrisches Fernseh-Licht-System TLS70

für Buntton $h^* = lab \cdot h = 92/360 = 0.256$ $LAB \cdot LCH$, $LAB \cdot NCH$

D65: Buntton J

LCH*Ma: 89 28 92

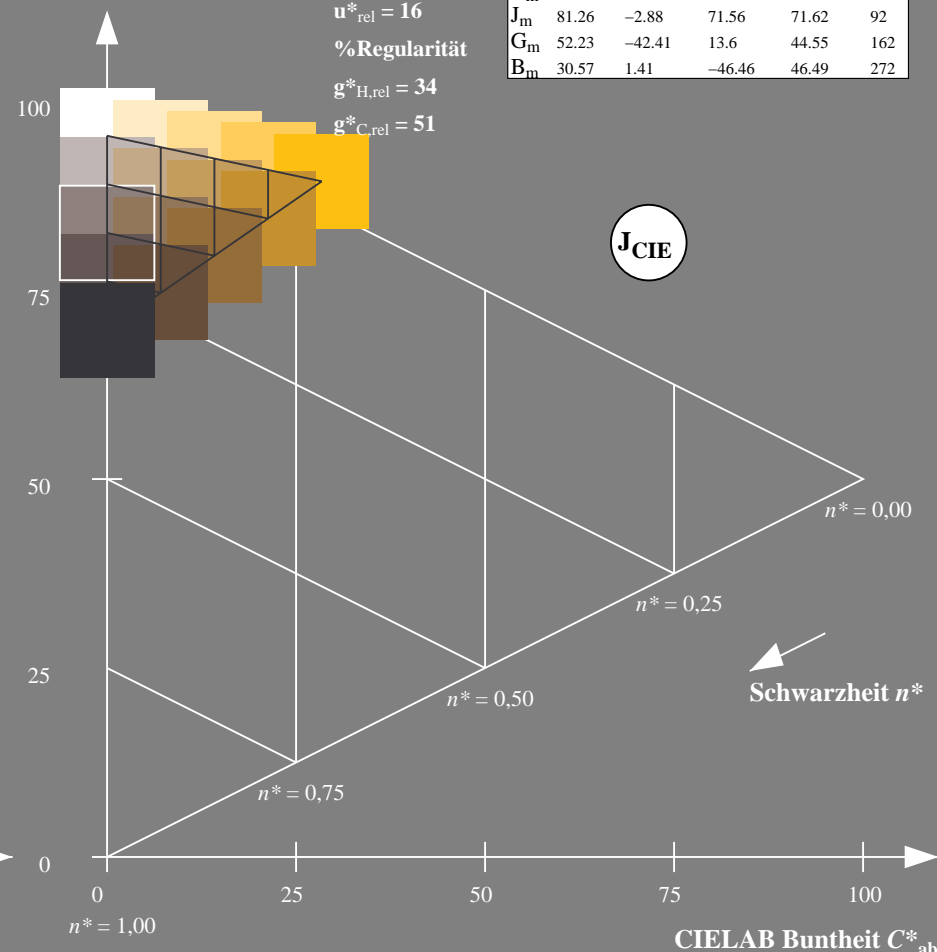
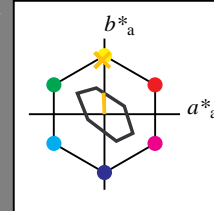
olv*Ma: 1.0 0.74 0.0

CIELAB-Helligkeit L^*

%Umfang

 $u^*_{rel} = 16$

%Regularität

 $g^*_{H,rel} = 34$ $g^*_{C,rel} = 51$ 

5 stufige Reihen für konstanten CIELAB Buntton 92/360 = 0.256 (rechts)

Eingabe: Farbmétrisches Fernseh-Licht-System TLS70

für Buntton $h^* = lab^*h = 162/360 = 0.451$ lab^*tch und lab^*nch

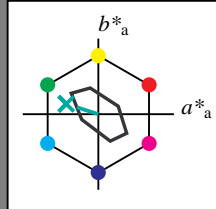
D65: Buntton G

LCH*Ma: 90 30 162

olv*Ma: 0.0 1.0 0.53

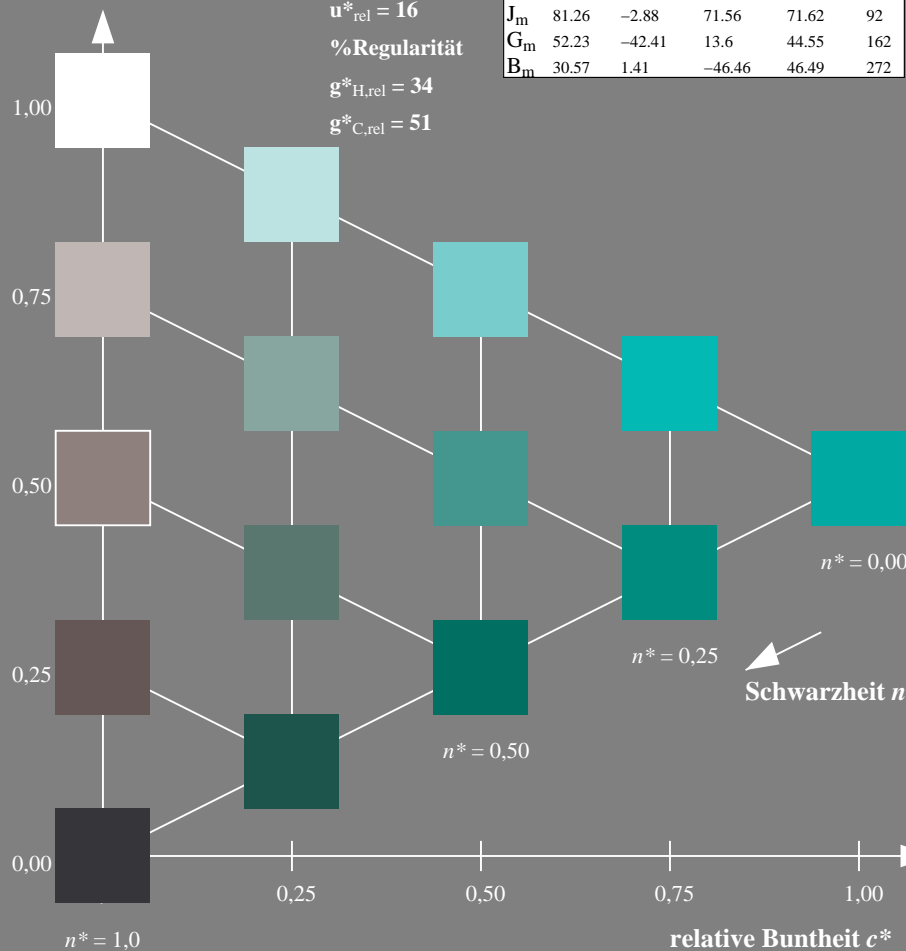
Dreiecks-Helligkeit t^*

%Umfang
 $u^*_{rel} = 16$
%Regularität
 $g^*_{H,rel} = 34$
 $g^*_{C,rel} = 51$



TLS70; adaptierte CIELAB-Daten

	$L^*=L^*_a$	a^*_a	b^*_a	$C^*_{ab,a}$	$h^*_{ab,a}$
O _m	76.43	26.27	10.57	28.32	22
Y _m	93.93	-10.76	34.63	36.27	107
L _m	89.32	-35.8	27.64	45.24	142
C _m	90.93	-21.95	-7.07	23.07	198
V _m	72.1	15.76	-35.63	38.97	294
M _m	78.5	37.52	-25.23	45.22	326
N _m	69.7	0.0	0.0	0.0	0
W _m	95.41	0.0	0.0	0.0	0
R _m	39.92	58.74	27.99	65.07	25
J _m	81.26	-2.88	71.56	71.62	92
G _m	52.23	-42.41	13.6	44.55	162
B _m	30.57	1.41	-46.46	46.49	272



OG290-7, 5 stufige Reihen für konstanten CIELAB Buntton 162/360 = 0.451 (links)

Ausgabe: Farbmétrisches Fernseh-Licht-System TLS70

für Buntton $h^* = lab^*h = 162/360 = 0.451$ LAB^*LCH , LAB^*NCH

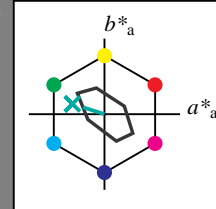
D65: Buntton G

LCH*Ma: 90 30 162

olv*Ma: 0.0 1.0 0.53

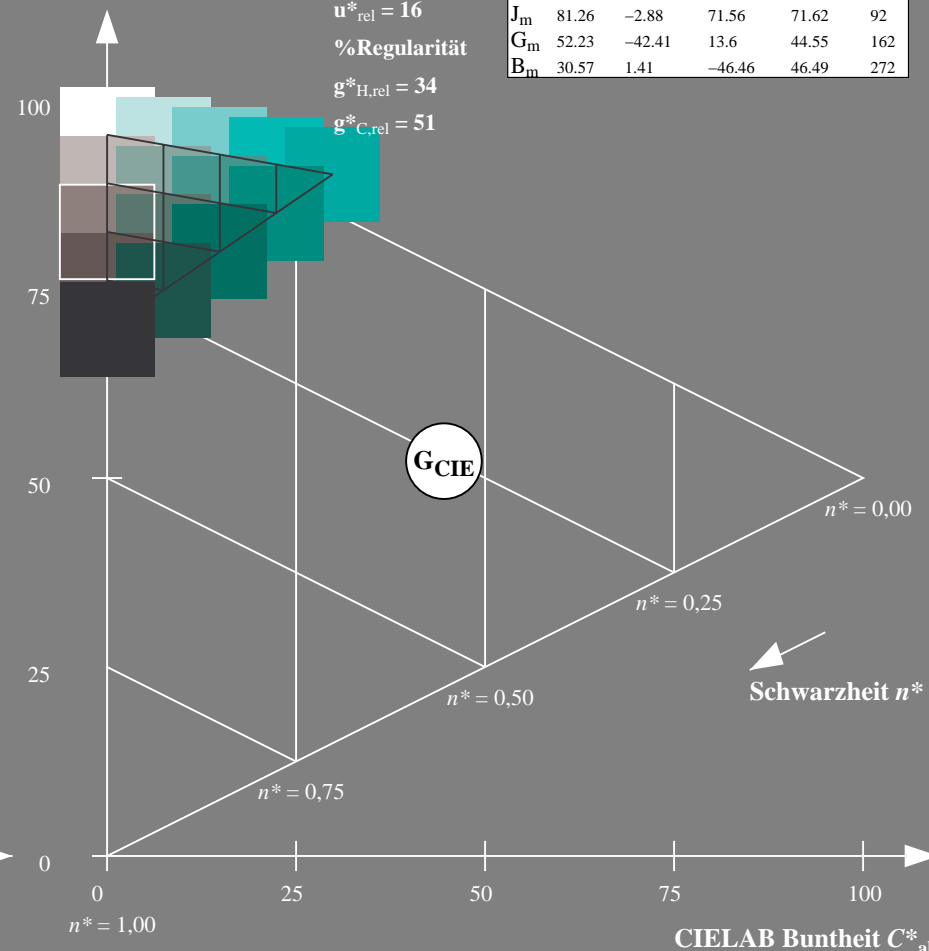
CIELAB-Helligkeit L^*

%Umfang
 $u^*_{rel} = 16$
%Regularität
 $g^*_{H,rel} = 34$
 $g^*_{C,rel} = 51$



TLS70; adaptierte CIELAB-Daten

	$L^*=L^*_a$	a^*_a	b^*_a	$C^*_{ab,a}$	$h^*_{ab,a}$
O _m	76.43	26.27	10.57	28.32	22
Y _m	93.93	-10.76	34.63	36.27	107
L _m	89.32	-35.8	27.64	45.24	142
C _m	90.93	-21.95	-7.07	23.07	198
V _m	72.1	15.76	-35.63	38.97	294
M _m	78.5	37.52	-25.23	45.22	326
N _m	69.7	0.0	0.0	0.0	0
W _m	95.41	0.0	0.0	0.0	0
R _m	39.92	58.74	27.99	65.07	25
J _m	81.26	-2.88	71.56	71.62	92
G _m	52.23	-42.41	13.6	44.55	162
B _m	30.57	1.41	-46.46	46.49	272



5 stufige Reihen für konstanten CIELAB Buntton 162/360 = 0.451 (rechts)

BAM-Prüfvorlage OG29; Farbmétrik-Systeme ORS18 & ORS18input: $cmY0^*setcmykcolor$

D65: Koordinaten-Systeme von 5stufigen Farbreihen für 10 Bunttoninput: Startup (S) data dependant

Eingabe: Farbmétrisches Fernseh-Licht-System TLS70

für Buntton $h^* = lab \cdot h = 272/360 = 0.755$ $lab \cdot tch$ und $lab \cdot nch$

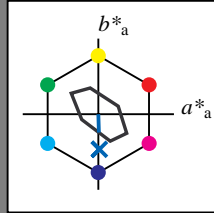
D65: Buntton B

LCH*Ma: 80 24 272

olv*Ma: 0.0 0.4 1.0

TLS70; adaptierte CIELAB-Daten

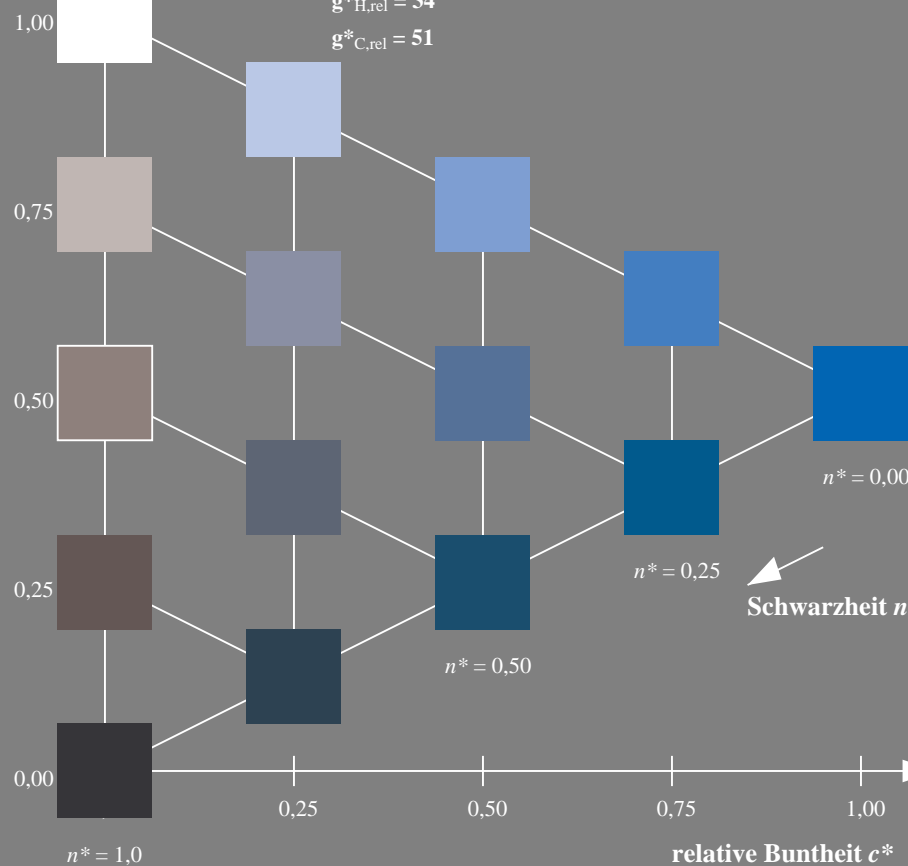
	$L^*=L^*_a$	a^*_a	b^*_a	$C^*_{ab,a}$	$h^*_{ab,a}$
O _m	76.43	26.27	10.57	28.32	22
Y _m	93.93	-10.76	34.63	36.27	107
L _m	89.32	-35.8	27.64	45.24	142
C _m	90.93	-21.95	-7.07	23.07	198
V _m	72.1	15.76	-35.63	38.97	294
M _m	78.5	37.52	-25.23	45.22	326
N _m	69.7	0.0	0.0	0.0	0
W _m	95.41	0.0	0.0	0.0	0
R _m	39.92	58.74	27.99	65.07	25
J _m	81.26	-2.88	71.56	71.62	92
G _m	52.23	-42.41	13.6	44.55	162
B _m	30.57	1.41	-46.46	46.49	272

Dreiecks-Helligkeit t^*

%Umfang

 $u^*_{rel} = 16$

%Regularität

 $g^*_{H,rel} = 34$ $g^*_{C,rel} = 51$ 

OG290-7, 5 stufige Reihen für konstanten CIELAB Buntton 272/360 = 0.755 (links)

BAM-Prüfvorlage OG29; Farbmétrik-Systeme ORS18 & ORS18input: *cmv0* setcmykcolor*D65: Koordinaten-Systeme von 5stufigen Farbreihen für 10 Bunttoninput: *Startup (S) data dependend*

Ausgabe: Farbmétrisches Fernseh-Licht-System TLS70

für Buntton $h^* = lab \cdot h = 272/360 = 0.755$ $LAB \cdot LCH$, $LAB \cdot NCH$

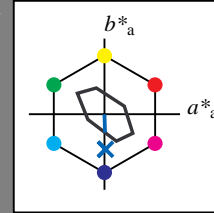
D65: Buntton B

LCH*Ma: 80 24 272

olv*Ma: 0.0 0.4 1.0

TLS70; adaptierte CIELAB-Daten

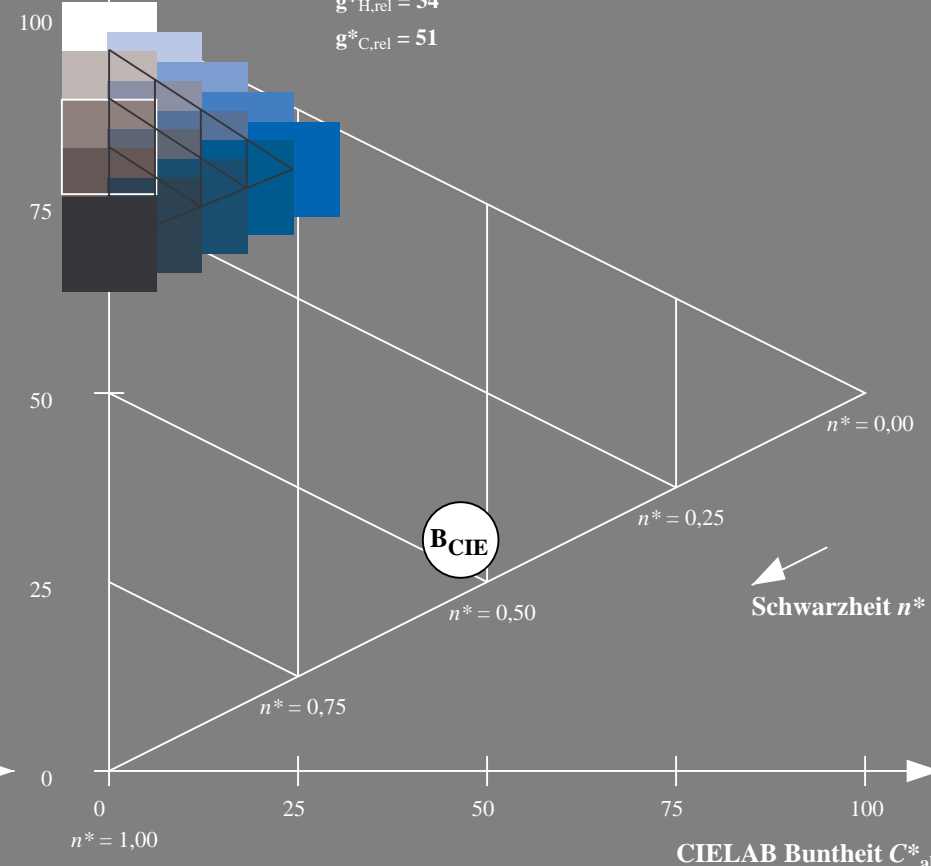
	$L^*=L^*_a$	a^*_a	b^*_a	$C^*_{ab,a}$	$h^*_{ab,a}$
O _m	76.43	26.27	10.57	28.32	22
Y _m	93.93	-10.76	34.63	36.27	107
L _m	89.32	-35.8	27.64	45.24	142
C _m	90.93	-21.95	-7.07	23.07	198
V _m	72.1	15.76	-35.63	38.97	294
M _m	78.5	37.52	-25.23	45.22	326
N _m	69.7	0.0	0.0	0.0	0
W _m	95.41	0.0	0.0	0.0	0
R _m	39.92	58.74	27.99	65.07	25
J _m	81.26	-2.88	71.56	71.62	92
G _m	52.23	-42.41	13.6	44.55	162
B _m	30.57	1.41	-46.46	46.49	272

CIELAB-Helligkeit L^*

%Umfang

 $u^*_{rel} = 16$

%Regularität

 $g^*_{H,rel} = 34$ $g^*_{C,rel} = 51$ 

5 stufige Reihen für konstanten CIELAB Buntton 272/360 = 0.755 (rechts)